

アンカーの引抜き抵抗実験

中央大学 理工学部 服部 昌太郎

1 まえがき

海洋構造物が外洋域に進出するに従って、浮遊形式の構造物が多く使用される傾向が強まる。係留システムによつて、浮遊型構造物が海上または海中の、ほど一底に固定される場合、波などによる構造物の動搖とアンカーケーブル系の挙動、およびアンカーケーブルの固定底となる、アンカーの引抜き抵抗力が重要な問題となる。これららの問題の中でも、アンカーの引抜き抵抗力とその発生機構に関しては、未だ十分な解説がなされていない。

海洋構造物のアンカーは、その自重に較べて引抜き抵抗力が大きく、しかも設置と撤去が簡単に見える必要がある。この事は、海洋構造物用のアンカーの機能が、船舶用のものと異なることを意味している。

本研究は、沈設アンカーの引抜き抵抗力の発生機構を解明するための基礎として、沈設アンカー上部部の海底面の引抜き抵抗力への寄与を知る上に必要な、底面内に発生するすべり面形状とそこに働く剪断力について検討を行つたものである。

沈設アンカーの引抜き抵抗力 (Breakout force) についてを述べた、従来の研究は非常に数が少ない。海底面下に沈降した物体を引抜くに要する力は、物体の形状・大きさ、海底面の性質、沈降深さ、海底面上に設置された時間、そして引抜き荷重の特性とその作用位置などに關係する。この事は、NECL⁽¹⁾で行つてある一連の研究によって、明らかにされた事柄である。

海洋構造物用の沈設アンカーの引抜き抵抗力に関する研究としては、鉄塔などの基礎の引抜き抵抗力に関する研究が、土工学の分野で行われている。

土中基礎の引抜き抵抗力の算定方法としては、

1. アンカー直上の円柱土塊の重量とすべり面(円柱面)に作用する剪断力との和 (earth pressure method).
2. アンカー上面端より頂角が $90^\circ + \phi$ (ϕ : 壓擦角) である円すい面をすべり面とし、この部分の土塊重量を抵抗力とする (earth load method)
3. Balla・松尾の方法

がある。Balla⁵⁾と松尾⁶⁾は、アンカーの引抜き抵抗力が、Terzergy の支持力の式と同等式と見えられるとして、それが円弧または直線と対数らせんと見えられるすべり面の土塊重量と、すべり面上に作用する剪断抵抗合力の鉛直成分とアンカー重量との和とした、理論式を示している。

2. 予備的考察

図-1 に示すように、沈設アンカーと鉛直に引抜く場合の、抵抗力の成分とそれに關係する

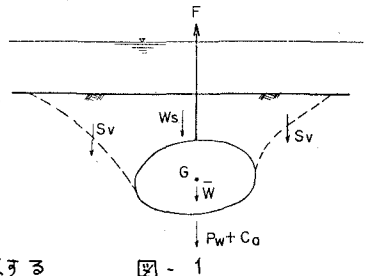


図-1

因子は以下の様である。

1. アンカー水中重量 G

2. アンカーアーの底面重量 W_s

$$W_s = W_s (A_m, L, b, r_s', c, \varphi, D)$$

3. アンカーアー下面に働く吸引力 (suction force) P_w

$$P_w = P_w (A_m', dF/dt, d_o, e, k, D, h, t)$$

4. すべり面に働く剪断力の鉛直成分 S_v

$$S_v = S_v (A_m', L, r_s', c, \varphi, D)$$

5. アンカーアー表面に働く粘着力・摩擦力 C_a

$$C_a = C_a (A_m', L, b, r_s', \mu_s, c, e, dF/dt, t)$$

ここに、 A_m 、 L 、 b ：アンカーの最大水平投影面積と水平・鉛直方向の代表寸法、 $r_s' = (\gamma_s - \gamma_w) / (1 + e)$ ：底面の水中にあける見掛けの単位体積重量、 c 、 φ ：底面の粘着力と内部摩擦角、 d_o ：底面の平均粒径、 μ_s 、 e ：底面の粘性係数と間隔率、 ϵ ：アンカーアーの表面粗度、 D ：沈設深さ、 t ：時間

いま、沈設アンカーの引抜き抵抗力として、引抜き荷重とアンカー水中重量との差 $F - G$ とする、

$$R = F - G = W_s + P_w + S_v + C_a$$

$$= (A_m, L, b, r_s', c, \varphi, e, k, d_o, \frac{dF}{dt}, h, \epsilon, D, t) \quad (1)$$

をうる。

沈設アンカーの引抜き抵抗力 R は、(1)に見られるように非常に多くの因子に關係する。本研究は、先

きに述べたように、(1)中の W_s と S_v の引抜き抵抗 R に対する効果を把握することを目的としている。そこで、本研究では以下に掲げる理由から、実験に使用する模型底面として砂を用い、実験条件の簡単化を図る。

1. 砂は粘性土に較べて粒径が大きく、付着力はほとんどない。
2. 砂の透水係数が大きいため、アニカ下面に発生する吸引力は、比較的速やかに解消される。
3. 砂は付着力はほとんどない。
4. 模型アニカ沈設時の、アニカ周辺土の擾乱による強度低下の回復が速やかで、しかも底面の堆積状態の均一性と再現性が良い。

以上のような本研究での条件を考慮すると、(1)は非常に簡単となり、次式で与えられる。

$$f(R, A_m, L, b, r'_s, \varphi, D) = 0^* \quad (2)$$

そして、(2)より次元解析によつて、(3)をうる。

$$\frac{R}{r'_s A_m D} = f\left(\frac{D}{L}, \frac{b}{L}, \varphi\right) \quad (3)$$

いま、半径 B の円板状のアニカに対する、Ballaと松尾の式と、それより(3)の形式に書き直したもののが(4)と(5)である。

$$\frac{R}{r'_s A_m D} = \frac{\lambda^2}{\pi} [F_1(\varphi, \lambda) + F_3(\varphi, \lambda)], \quad (\text{Balla の式}) \quad (4)$$

$$\frac{R}{r'_s A_m D} = \frac{1}{\pi} (\alpha_4 \lambda^2 + \alpha_5 \lambda + \alpha_6), \quad (\text{松尾の式}) \quad (5)$$

ここで、 $\lambda = D/B$ 。

3. 実験装置と実験方法

実験は、断面 $1m \times 1m$ 、高さ $2m$ の水槽を使用して行った。この水槽は、アニカ引抜き時の挙動を、直接観察・記録するため、水槽の上部 $1m$ の部分は、4側壁をすべて透明プラスチック製とした。模型海底底面としては、表-1に示されるような諸性質をもつ、豊浦標準砂を使用した。

表-1 実験に使用した底質の諸性質

平均粒径	比重	内部摩擦角	間けき率	見かけの単位重量
220μ	2.63	$33^\circ 42'$	39.1%	$1.17 g/cm^3$

*) (2)を導くにあたって、 $dF/dt = \text{const}$ の条件下で実験を行うことと考慮して、その効果を無視した。

模型アニカは、直立体、球、正方形、円板および矩形板の5形状で、それらの寸法、重量は表-2に示す。

2. 模型アニカ寸法

形 状	寸 法	水中重量
直立体	$7.0cm \times 7.0cm \times 7.0cm$	$2.48 kg$
球 体	$8.0 cm \phi$	$1.72 kg$
正方形	$2.5cm \times 2.5cm \times 8mm$	$3.80 kg$
矩形板	$10.7cm \times 10.7cm \times 8mm$	$0.70 kg$
円 板	$12cm \phi \times 8mm$	$0.60 kg$

は、図-2に示す矩形板 $15.2cm \times 7.5cm \times 8mm$ $0.75 kg$

である。引抜き荷重を静的に作

用ニセラ実験装置は(a)に示

さめる。模型アニカ(A)

は、ステンレス・ワイヤーで

引抜き荷重(T)に連結され、

その間に力計(L)とバランス

用鉤り(C)が挿入されてい

る。アニカに作用させる引抜き

荷重は、定水頭式水槽より水

槽(T)に送水される水によって

載荷し、荷重は力計(L)に

よつて検出される。沈設アニカ

の変位は、ダイヤルゲージ

(d) または、図-2 b) のよ

うにボランシオメータによつて

検出される。動的引抜き荷重に

よる実験は、図-2 b) に示す

ように、 $1/4 HP$ の可変速モ

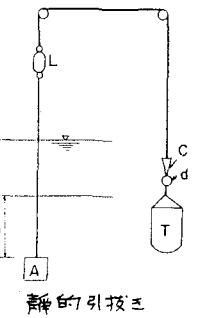
ータ(M)と動力源とする回転

板と模型アニカ(A)とを、引張り荷重索で結合し、その途中にコイルバネ(S)と力計(L)を挿入する。

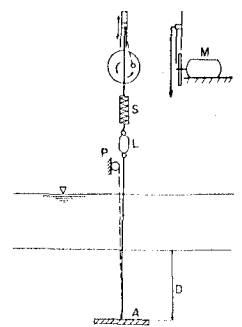
実験は、模型アニカを所要の沈設深さに設置するため底面を墜下し、アニカ設置後水面より砂を投下して埋戻し、海底面を水平にする。模型アニカ周辺の擾乱底面の強度を回復させるため、一定時間(予備実験より1時間と決めた)放置した後、引抜き荷重を作用させて実験を行ふ。

4. 実験結果

図-3は、一様な引抜き荷重速度($dF/dt = \text{const}$)で、アニカを引抜いた場合の、アニカの変位、アニカ下面中心部での吸引力、および引抜き荷重と時



(a) 静的引抜き



(b) 動的引抜き

図-2 実験装置

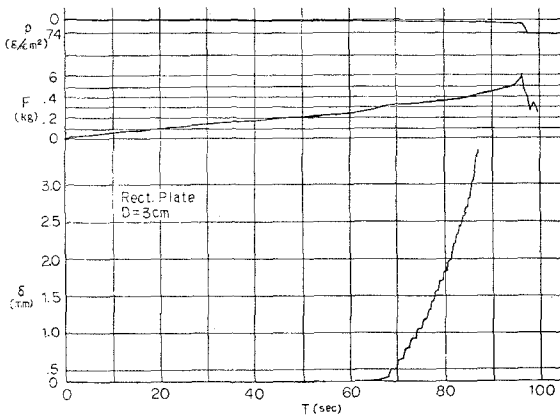


図-3 静的引抜き試験結果例

面との関係を示す試験結果の一例である。この図にも見らるるよう、一様な引抜き荷重速度でアンカーを引抜いた場合でも、アンカーの変位挙動は回転的に変位することを示している。また、アンカー下面に発生する吸引力も小さい。引抜き荷重が増大し、或る引抜き荷重になると、アンカーの変位は急激に増大する。そこで、本研究では図-4に示すような時刻での、アンカーに作用する引抜き荷重より、アンカーの最大引抜き抵抗力を求めることする。

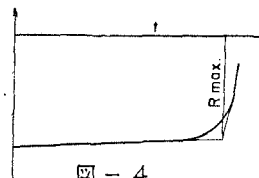


図-4

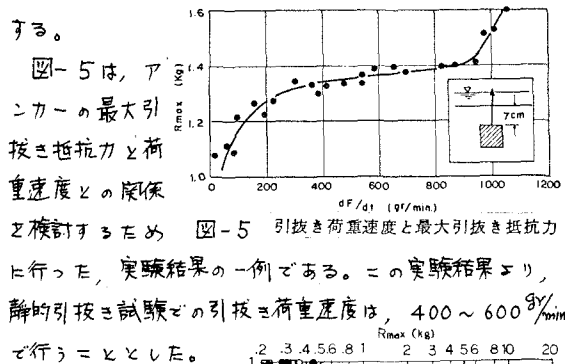


図-5は、アンカーの最大引抜き抵抗力と荷重速度との関係を検討するため、実験結果の一例である。この実験結果より、静的引抜き試験での引抜き荷重速度は、400～600 kg/minを行ったとした。

静的引抜き試験結果は、図-6に示さる。この図は、アンカー最大引抜き抵抗力と沈設深さとの関係を示したものである。D=0, すなわちアンカー上面が海

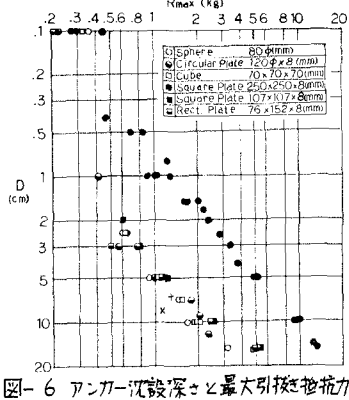


図-6 アンカー沈設深さと最大引抜き抵抗力

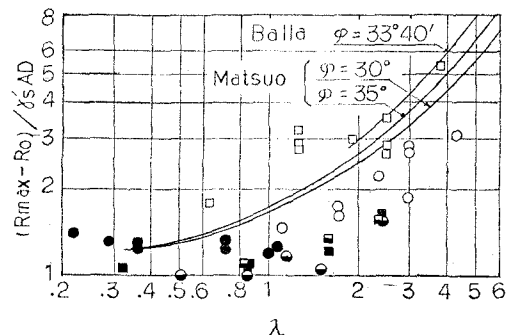


図-7 実験結果と理論との比較

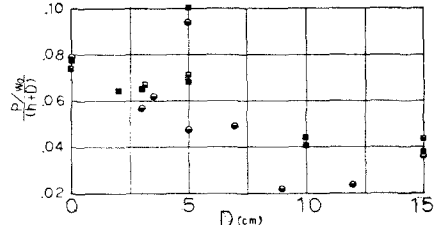


図-8 アンカー沈設深さとアンカー中心での吸引力 (H: 水深)

底面と一致する場合のアンカー引抜き抵抗力は、アンカー表面に働く土圧による摩擦力などによつて、比較的大きなものとなるといふ。

本研究は、沈設アンカー上部に生ずるすべり面内の、海底の質量とすべり面上に働く剪断力鉛直成分の、アンカー引抜き抵抗力への寄与の程度を解明することを目的としている。そこで、実験結果よりえられる $R_{max} - R_0$ ($R_0: D=0$ のアンカーの最大引抜き抵抗力) が、(4), (5) の R と等しいとして、実験結果と Balla および松尾の理論との比較を行つたものが、図-7である。この図の横軸は相対沈設深さ、また縦軸はアンカーの最大引抜き抵抗力とアンカー上部の海底の質量との比を表わした、相対最大抵抗力である。また、図-8はアンカーの沈設深さと、アンカー中心での吸引力との関係を示したもので、本実験では吸引力の効果は、非常に僅かである。

図-7に見らるるよう、直方体および正方板アンカーの最大引抜き抵抗力は、球体、円板および矩形板のものより、若干大きくなつてゐる。松尾が行った実験の結果でも、正方板アンカーの引抜き抵抗力が円板のものより 10% 程度大きいことが認められており、同様の傾向が本実験でも認められた。

線返し引抜き荷重がアンカーに加えられた場合の実

験を行った。繰返し引抜き荷重の載荷方式は、アニカーハーの変位が $0.3\sim1\text{ mm}$ に達するまで引抜き荷重を連続的に増加させ ($dF/dt = 600 \text{ kg/min}$)、定変位に達した後全載荷荷重を除去する。

実験結果は、図-9と10に示される。

実験は、直方体と球体のアニカーハーについて行った。実験結果

にみられるように、

球体アニカーハーの引抜き荷重除去後の残留変位は、直方体アニカーハーのものに較べて

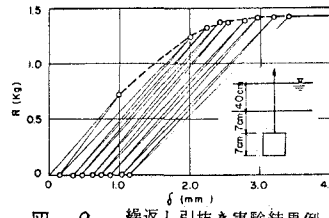


図-9 繰返し引抜き実験結果例

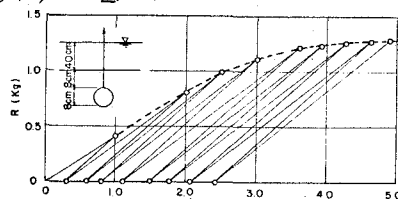
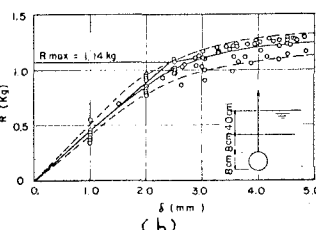


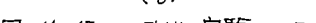
図-10 繰返し引抜き実験結果例

大きい。このことは、アニカーハー変位とともに生ずる、アニカーハー下面の両面への底面の流動が、球体アニカーハーの場合により容易に行われるこことを示している。

したがって、アニカーハー下面に発生する吸引力は、球体アニカーハーの方が直方体アニカーハーに較べて、速やかに解消する考え方である。



(a)



(b)

図-11は、直方体 図-11 繰返し引抜き実験による最大引抜き抵抗力と球体のアニカーハーについて行った実験結果より、アニカーハーの最大引抜き抵抗力を決定するための図である。これら図中に示すように、繰返し引抜き荷重に対するアニカーハーの最大引抜き抵抗力の定義より求められる R_{max} を、図-6中に十およびX印でプロットしてある。本実験での最大引抜き抵抗力の定義より、静的引抜きと繰返し引抜きの場合の、引抜き抵抗力曲線の傾きがつくことが、図-6より認められる。

動的的繰返し引抜き荷重を載荷した場合の実験結果例が、図-12に示される。

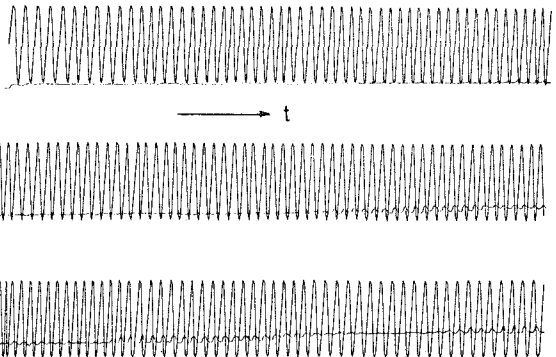


図-12 動的引抜き実験結果例(直方体)
($F_0 = 8.1 \text{ kg}$, $dF = 3.4 \text{ kg}$, $T = 1.8 \text{ sec}$, $D = 4.0 \text{ cm}$)

載荷動的引抜き荷重は、

$$F = F_0 + dF \sin \omega t$$

で与えられる周期的に変動するものである。

図-12に見られるように、変動引抜き荷重載荷後の経過時間が、20サイクル相当の時までには、アニカーハーの変位はほとんど認められない。そして、90サイクル付近よりアニカーハーの鉛直変動が認められ、95サイクル付近でアニカーハーは上方へ 0.2 mm 程度急に移動し、その後は伸び変位は小さくなる。このようなアニカーハーの変位運動の積重ねによつて、アニカーハーは徐々に引抜かれ、アニカーハーの総変位が数mmに達すると、急激に変位量は増大する。

このような、アニカーハー変位運動は、周同期的な荷重変動によって生ずる微小なアニカーハーの運動で、アニカーハー周辺の砂層が流動化し、このため地盤内の引抜き抵抗力が低下したために起らるものと考えられる。

Seed⁸⁾によると、砂の液状化現象に関する77カターカーは、1. 砂の粒径分布、2. 砂の相対密度(間引き比)、3. 初期拘束力、4. 地層の振動、5. 振動の継続時間があげられる。

従来の研究によると砂地盤の液状化現象は、粒径が均一な場合程、またゆるぎずめの砂程発生し易いと言つて、定性的な傾向が認められてゐる。本実験での模型地盤の粒径は、平均粒径が 200μ の比較的均一な粒径の砂で、しかも間引き率は40%のゆるぎずめの砂層である。したがって、本実験の場合には周同期引抜き荷重によつて、アニカーハー周辺の砂が流動化する可能性は、さわめて大きかったと言える。

砂の流動化現象とは数多くの要因が関係するため、

今後数多くの実験の積重ねによって、アニカーアンカーワークの流動化現象とアニカーアンカーワークの変位挙動の関連を検討するところが、必要であると考えられる。

5.まとめ

沈設アニカーアンカーワークの引抜き抵抗力の発生機構を解明するため、6種類のアニカーアンカーワークについて模型実験を行った。

沈設アニカーアンカーワークの引抜き抵抗力については、従来の研究は多く、引抜き抵抗力の定性的な性質や経験式が発達されてきたにすぎない。しかも、引抜き抵抗力の発生機構について、系統的な研究がなされていないため、定量的な引抜き抵抗力の推定は、現在でもまだ十分でないものとはなっていらない。本工のように、沈設アニカーアンカーワークの引抜き抵抗力の定量的推定の不十分さを克服するため、本研究はアニカーアンカーワーク時に海底の底面に生ずるすべり面形状と、その面に働く剪断力および土塊重量について、基礎的な検討を行ったのである。

本研究の範囲内で認められた、主なる事項は以下のようである。

1. アニカーアンカーワークの引抜き抵抗力は、荷重速度の増加とともに、増大する。これは、アニカーアンカーワークに発生する吸引力(suction force)に起因する。

2. アニカーアンカーワークの変位-時間曲線より、図-4の(3)に示す静的引抜き荷重に対するアニカーアンカーワークの最大引抜き抵抗力を定義すると、図-6に示すように、アニカーアンカーワークの沈設深さに比例して、最大抵抗力は増大する。

3. アニカーアンカーワークの沈設深さが大きい場合には、Ballaと松尾の理論値と実験値とは、ほぼ同様の傾向を示し、直方体アニカーアンカーワークの最大抵抗力を示す。また、沈設深さが浅い場合には直方体最大抵抗力は、沈設深さによらずあまり変化しない。しかし、このような場合でも、直方体アニカーアンカーワークの最大抵抗力は、他の形状のアニカーアンカーワークよりも大きい。

4. 球体アニカーアンカーワークの引抜き抵抗力が直方体および正方柱アニカーアンカーワークに比べて、アニカーアンカーワーク時に発生する海底の底面のすべり面が、アニカーアンカーワークの最大水平面積の周端部に発生していることによる。以上のことから、沈設アニカーアンカーワークの形状としては、アニカーアンカーワークの角端部が鉛直端であることが望ましい。

5. 正方柱、円柱および矩形柱アニカーアンカーワークの実験結果

より、アニカーアンカーワークの最大水平面積が同じ場合には、アニカーアンカーワークの引抜き抵抗力は、アニカーアンカーワークの周辺長が長いものほど大きいことが認められた。

6. 球面引抜き荷重を受けるアニカーアンカーワーク、球体アニカーアンカーワークの残留変位は、直方体アニカーアンカーワークよりも大きい。このことは、アニカーアンカーワーク下面に発生する吸引力の解消が、球体アニカーアンカーワークの場合は直方体アニカーアンカーワークに較べて、直方体に生ずることを意味している。

7. 動的引抜き荷重を受けるアニカーアンカーワークの引抜き挙動は、アニカーアンカーワークの底面の底層の流動化が、大きな原因となることを認められる。

6. 謝辞

本研究はこの数年間継続しているもので、昭和48年度には、建設省の総合技術開発プロジェクトの一環として行った、「波浪観測ステーション調査」(代表者本間 仁教授)により研究費の補助を受けた。

引用文献

- 1) Liu, C.L. : Ocean sediment holding strength against breakout of embedded objects, Tech. Rep. R 635, U.S. Naval Civil Eng. Lab., 1969.
- 2) Muga, B.J. : Bottom break-out forces, Proc. of 2nd Conf. on Civil Eng. in the Oceans, ASCE, pp. 105~116, 1969.
- 3) Vesic, A.S. : Breakout resistance of objects embedded in ocean bottoms, Proc. of 2nd Conf. on Civil Eng. in the Oceans, ASCE, pp. 137~165, 1969.
- 4) Bemben, S.M. and E.H. Kalajian : The vertical holding capacity of marine anchors in sand, Proc. of 2nd Conf. on Civil Eng. in the Oceans, ASCE, pp. 117~136, 1969.
- 5) Balla, A. The resistance to breakout of mushroom foundation for pylons, Proc. of 5th Intern. Conf. on Soil Mech. Found. Eng., Vol. 1, pp. 569~576, 1962.
- 6) 松尾 稔 : 直方体基礎の引抜き抵抗力について, 土木学会論文集, 第105号, pp. 9~18, 昭和39年.
- 7) 松尾 稔・新城俊也 : 粘性土中の基礎の引抜き抵抗力に関する研究, 土木学会論文集, 第137号, pp. 1~12, 昭和45年.
- 8) Seed, H.B. and I.M. Idriss : Simplified procedure for evaluating soil liquefaction potential, Proc. ASCE, Vol. 97, SM, pp. 1249~1273, 1971.